

برآورد تانسور گرادیان گرانی بر سطح زمین با استفاده از روش تفاضل محدود و تلفیق داده‌های جاذبی زمینی با مدل‌های ژئوپتانسیل جهانی: مطالعه موردنی در منطقه فارس ساحلی

محمدعلی برومند^{*}، عبدالرضا صفری^۱، یحیی‌الله توکلی^۲، عباس بحروفی^۳

^۱اکارشناس ارشد ژئودزی دانشکده مهندسی نقشه‌برداری و اطلاعات مکانی پردیس دانشکده‌های فنی دانشگاه تهران mboroomand@ut.ac.ir

^۲دانشیار دانشکده مهندسی نقشه‌برداری و اطلاعات مکانی پردیس دانشکده‌های فنی دانشگاه تهران asafari@ut.ac.ir

^۳دانشجوی دکتری ژئودزی دانشکده مهندسی نقشه‌برداری و اطلاعات مکانی پردیس دانشکده‌های فنی دانشگاه تهران ytavakoli@ut.ac.ir

^۴استادیار دانشکده مهندسی معدن پردیس دانشکده‌های فنی دانشگاه تهران bahroudi@ut.ac.ir

(تاریخ دریافت مرداد ۱۳۹۴، تاریخ تصویب تیر ۱۳۹۵)

چکیده

تانسور گرادیان گرانی، ماتریسی مشتمل بر مشتقات مرتبه‌ی دوم گرانی می‌باشد که کاربردهای فراوانی در علوم ژئودزی و ژئوفیزیک دارد. تا به امروز تلاش‌های زیادی برای اندازه‌گیری و برآورد تانسور گرادیان گرانی با دقت مناسب صورت گرفته است. این کمیت تانسوری از روش‌های متنوعی قابل برآورد یوده که یکی از این روش‌ها استفاده از مشاهدات ثقلی و به کارگیری روش تفاضل محدود است. روش تفاضل محدود با استفاده مستقیم از مفهوم ریاضی تانسور گرادیان، بدون در نظر گرفتن فرضیات اضافی که ممکن است از واقعیت مسئله به دور بیشتر، می‌تواند از نقطه نظر تئوری امکان برآورد صحیح تانسور گرادیان گرانی را فراهم آورد. در این مطالعه، تانسور گرادیان با استفاده از داده‌های جاذبی زمینی و روش تفاضل محدود فرموله و تعیین شده است. در این مقاله، روابط پیشنهادی به صورت عددی با استفاده از یک مدل جاذبی جهانی زمین مورد آزمایش قرار می‌گیرد و سپس از این روش، جهت برآورد تانسور گرادیان گرانی در ۶۴۵۰ ایستگاه ثقلی در منطقه‌ی فارس ساحلی در جنوب ایران، استفاده می‌گردد. آزمایش‌های عددی این تحقیق نشان از توانایی روش در برآورد مولقه‌های تانسور گرادیان گرانی با دقت مناسب می‌باشد. به عنوان مثال در آزمایش‌های عددی دیده می‌شود که روش پیشنهادی این تحقیق امکان برآورد مولقه‌های قطبی تانسور گرادیان (به عبارتی مشتقات دوم گرانی در جهت‌های شرق، شمال و قائم) را با دقت‌هایی به ترتیب برآور با ۳۴,۴۹، ۴۵۴,۸۲ و ۴۵۴,۸۲ اتووش فرآهم نموده است.

واژگان کلیدی: تانسور گرادیان گرانی، روش تفاضل محدود، مدل ژئوپتانسیل، فارس ساحلی

* تهییسنده رابط

۱- مقدمه

اکتشافاتی در مجارستان عرضه نمود، اندازه گیری‌های تانسور گرادیان گرانی تا کنون رونق بسیار فراوانی یافته است (بود و همکاران، ۱۹۹۰) [۷] در دو دهه اخیر، علوم ژئودزی و ژئوفیزیک شاهد پیشرفت سیستم‌های گرادیومتری جاذبی هوایی (AGG) مدرن مانند سیستم BHP فالکون (آستان، ۲۰۰۰) و سیستم برداشت کامل Tansor گرانی (FTG) بل ژئواسپیس (بل ژئواسپیس، ۲۰۰۴) بوده است [۸]. از جمله مزایای سیستم‌های گرادیومتری جاذبی هوایی آن است که آنها توانایی برداشت سریع تانسور گرادیان گرانی بر روی هر نوع ساختار زمینی و در هر نوع اقلیمی را با دقت مطلوب دارا می‌باشند و این خود دلیل اصلی در توسعه و افزایش تقاضای سریع این سیستم‌ها در ۲۰ سال اخیر بوده است.

مدل‌سازی مستقیم (Forward modeling) روشی بر پایهٔ تئوری پتانسیل گرانی نیوتن بوده که برای محاسبه گرادیان گرانی، از آنومالی چگالی جرمی معلوم استفاده می‌نماید. مشکلی که در این روش وجود دارد این است که غالباً تغییرات چگالی جرمی توده‌های زیرزمینی، معلوم نبوده و این موضوع، استفاده مستقیم از معادله انتگرالی نیوتن جهت برآورده مولقه‌های تانسور را ممکن نمی‌سازد. از این رو، روش‌های جایگزین برای برآورده تانسور گرادیان گرانی با استفاده از داده‌های گرانی، در ابتدا توسط آگراول و لال (۱۹۷۲)، [۹] گان (۱۹۷۵) [۱۰] و سپس توسط میکوس و هیتوچووسا (۲۰۰۱) [۱۱] ارائه گردید. آگراول و لال یک عملگر هموارکننده ریاضی (mathematical smoothing operator) را به خدمت گرفتند که توانایی برآورده مشتق مرتبهٔ دوم میدان پتانسیل گرانی را با استفاده از آنومالی گرانی بوگه فرآهن می‌آورد. گان در مقاله‌ی خود در سال ۱۹۷۵ نشان داد که میدان‌های گرانی و مغناطیس، هر یک، نتیجهٔ یک کاتولوشن (convolution) از عواملی همچون (۱) هندسهٔ جسم، (۲) ویژگی‌های فیزیکی آن و (۳) نوع میدان مشاهده شده، می‌باشند (گان، ۱۹۷۵) [۱۰]. از این رو مشتق عمودی و افقی تابعکهای پتانسیل آنها می‌توانند توسط کاتولوشن این عوامل همراه با فیلترهای مناسب، محاسبه گرددند. میکوس و هیتوچووسا (۲۰۰۱) تبدیل فوریه‌ی مولقه ارتفاعی بردار گرانی را محاسبه کرده و از طریق آن طیف کلیه‌ی المان‌های تانسور گرادیان گرانی را تعیین نمودند، در واقع با استفاده از این تبدیل تمامی المان‌های

بطور کلی مشاهدات جاذبی در ژئودزی برای اهداف متعددی مانند: تعیین سطح مبنای ارتفاعی (ژئوئید)، تبدیل سیستم‌های ارتفاعی به یکدیگر، مدلسازی‌های محلی و جهانی میدان گرانی، تعیین تغییرات منطقه‌ای سطح آبها و آنالیز مدار ماهوارها کاربرد بسیار فراوان دارد. از طرف دیگر در ژئوفیزیک از این نوع مشاهدات به عنوان مشاهدات ارزشمند در کمک به فهم ساختارهای زیر سطحی زمین، استفاده می‌شود. در ژئودزی غالباً از مشاهدات جاذبی برای بیان هندسی سه بعدی زمین استفاده می‌شود و از آن سو در ژئوفیزیک، عمدۀی هدف از استفاده از این دسته مشاهدات، تعیین مشخصه‌های فیزیکی زمین می‌باشد. یکی از مهمترین مشاهدات جاذبی که هم در ژئودزی و هم در ژئوفیزیک از کاربرد و اهمیت ویژه‌ای برخوردار است، مشاهده "تانسور گرادیان گرانی گرانی مشتقه‌ای مرتبهٔ دوم پتانسیل گرانی زمین (gravitational gradient tensor)" است. تانسور گرادیان گرانی مشتقه‌ای مرتبهٔ دوم پتانسیل گرانی در مقایسه با مشاهده گرانی بسیار سریع تر نسبت به فاصله تعییف می‌شود. از این رو تانسور گرادیان گرانی در مقایسه با اندازه شتاب گرانی، نسبت به تغییرات جرمی زیرزمینی نزدیک به سطح زمین، حساس‌تر است. داده‌های گرادیان گرانی می‌توانند برای بدست آوردن ساختارهای زیرسطحی زمین زمانیکه یک ساختار ناهمگون زیر سطحی وجود دارد مورد استفاده قرار بگیرند [۱]. از جمله دیگر کاربردهای تانسور گرادیان گرانی می‌توان به اکتشافات معدنی مانند: سنگ آهن و اکتشاف نوعی سنگ آذرین به نام کیمبرلایت (kimberlite) برای اهداف اکتشاف الماس [۲]، اکتشافات نفت و گاز و دیگر متابع انرژی زیرزمینی [۳]، آشکارسازی دقیق حفره‌های زیرزمینی، تشخیص و بررسی پدیده‌های زمین‌شناسی مانند گنبدهای نمکی، جزایر و گسل‌ها [۴]، کاربرد در تحقیقات مربوط به زمین لرزه و پیش‌بینی آن [۵]، استفاده در هدایت موشک‌های بالستیک، مدل‌سازی میدان ثقل زمین، تعیین مدار ماهواره‌ها و ناوبری ایترشیال [۶] اشاره کرد.

از زمانیکه رولاند بارون وان اتووش (Roland von Eötvös) ترازوی پیچشی خود موسوم به تورشن بالانس (torsion balance) را در اوایل قرن بیستم برای اهداف

در این مرحله هدف ارائه یک روش پیشنهادی برای روش تفاضل محدود جهت برآورد تانسور گرانی می‌باشد. بدین منظور یک نقطه با موقعیت معلوم $\underline{r} \in \mathbb{R}^3$ را در نظر بگیرید که بردار شتاب جاذبه \underline{f} در آن اندازه گیری شده باشد. حال N نقطه در همسایگی نقطه محاسباتی در نظر بگیرید. در این اینجا جهت سهولت در یافتن نقاط همسایه، از یک همسایگی به شکل یک مکعب با ابعاد $2\delta \times 2\delta \times 2\delta$ و تعریف ریاضی زیر استفاده شده است:

$$\text{Cube}(\underline{r}, \delta) = \{\underline{r} \in \mathbb{R}^3 \mid 0 < \|\underline{r} - \underline{r}_n\|_e < \delta\} \quad (3)$$

همانگونه که از رابطه فوق پیداست مکعب فوق از نقطه نظر ریاضی یک همسایگی به مرکز نقطه محاسباتی بوده که با یک نرم بینهایت (Infinite Norm) مانند: $\|\underline{r}\|_\infty = \max\{|x|, |y|, |z|\}$ تعریف گردیده است. در رابطه (۳)، \underline{r} بردار موقعیت نقطه محاسبه و \underline{r}_n بردار موقعیت نقاط همسایه‌ی نقطه محاسبه است. شکل ۱ بصورت شماتیک همسایگی و نقاط همسایه در درون آن را نشان می‌دهد. بدلاًه فرض کنید که بردارهای گرانی و بردارهای موقعیت، همگی در N نقطه‌ی همسایگی نیز مشاهده شده و همگی آنها به صورت سه بعدی در اطراف نقطه محاسباتی پراکنده شده باشند. موقعیت‌های معلوم نقاط همسایه و بردارهای جاذبی مشاهده شده آنها، به ترتیب به صورت روابط زیر می‌باشند:

$$\begin{aligned} \underline{f}_g(r_n) &= \underline{f}_{gn} = \begin{bmatrix} f_{gx} \\ f_{gy} \\ f_{gz} \end{bmatrix} \\ \underline{r}_n &= \begin{bmatrix} x_n \\ y_n \\ z_n \end{bmatrix} \in \text{Cube}(\underline{r}, \delta) \end{aligned} \quad (4)$$

$$n = 1, 2, \dots, N$$

$$N \geq 3$$

حال به دنبال آن می‌باشیم که با استفاده مستقیم از مقاییم حد و مشتق، تانسور گرادیان گرانی را از مشاهدات جاذبه فوق استخراج نماییم. همچنین در نظر داشته باشیم که در اینجا نیازی به منظم نمودن داده‌ها نبوده و مشاهدات می‌توانند به صورت مستقیم در موقعیت‌های اصلی‌شان استفاده گرددند.

تانسور گرادیان جاذبه در فضای فرکانس تعیین و به دنبال آن، تانسور گرادیان گرانی از طریق یک تبدیل فوریه‌ی معکوس محاسبه گردید.

در این مطالعه، تلاش گردیده تا روشی برای برآورد تانسور گرادیان گرانی با استفاده از روش تفاضل محدود (Finite difference method) ارائه گردد. ابتدا روش پیشنهادی، برای یک مدل معلوم (حاصل از یک مدل ژئوتانسیل) مورد آزمایش قرار گرفته و پس از حاصل شدن نتایج قابل قبول، بر روی داده‌ی گرانی واقعی پیاده سازی شده است.

- برآورد تانسور گرادیان گرانی با استفاده از روش تفاضل محدود و داده‌های جاذبی زمین

تانسور گرادیان گرانی که عموماً با نام‌هایی همچون تانسور گرانی، تانسور گرایان، تانسور ماروسی (Marsusi)، ماتریس ژاکوبین (Jacobian matrix) بردار گرانی و ماتریس هسین (Hessian matrix) پتانسیل گرانی شناخته می‌شود، به صورت زیر تعریف می‌شود:

$$\Gamma = \nabla \underline{f}_g^T = \begin{pmatrix} \frac{\partial f_{gx}}{\partial x} & \frac{\partial f_{gy}}{\partial x} & \frac{\partial f_{gz}}{\partial x} \\ \frac{\partial f_{gx}}{\partial y} & \frac{\partial f_{gy}}{\partial y} & \frac{\partial f_{gz}}{\partial y} \\ \frac{\partial f_{gx}}{\partial z} & \frac{\partial f_{gy}}{\partial z} & \frac{\partial f_{gz}}{\partial z} \end{pmatrix} = \begin{pmatrix} \Gamma_{xx} & \Gamma_{xy} & \Gamma_{xz} \\ \Gamma_{yx} & \Gamma_{yy} & \Gamma_{yz} \\ \Gamma_{zx} & \Gamma_{zy} & \Gamma_{zz} \end{pmatrix} \quad (1)$$

که در رابطه فوق $\underline{f}_g = [f_{gx} \ f_{gy} \ f_{gz}]^T$ بردار گرانی می‌باشد. همانطور که در رابطه فوق دیده می‌شود، اجزای این ماتریس یا به عبارتی این تانسور، مشتقه میدان پتانسیل جاذبه می‌باشد و از آنجایی که میدان جاذبه یک میدان غیر دورانی است، روابط زیر نیز برای آن حاکم خواهد بود [۱۲]:

$$\frac{\partial f_{gy}}{\partial x} = \frac{\partial f_{gx}}{\partial y}, \quad \frac{\partial f_{gz}}{\partial x} = \frac{\partial f_{gx}}{\partial z}, \quad \frac{\partial f_{gx}}{\partial y} = \frac{\partial f_{gy}}{\partial z} \quad (2)$$

با مقایسه معادلات (۱) و جاگذاری آن در رابطه (۲) می‌توان نتیجه گرفت که تانسور گرادیان گرانی یک ماتریس متقارن است.

در حالیکه

$$\Delta \mathbf{r} = \underline{\mathbf{r}} - \mathbf{r} = [\Delta x \quad \Delta y \quad \Delta z]^T$$

$$\Delta r = \|\Delta \mathbf{r}\|$$

$$\Delta \mathbf{f}_g = \mathbf{f}_g(\underline{\mathbf{r}}) - \mathbf{f}_g(\mathbf{r})$$

(10)

$$\mathbf{u}_{\Delta \mathbf{r}} = \frac{\Delta \mathbf{r}}{\Delta r}$$

بنابراین رابطه‌ی (10) نشان می‌دهد که به ازای هر $\varepsilon > 0$ عدد مشتبهی مانند $0 < \delta < \varepsilon$ وجود دارد که

$$\forall \underline{\mathbf{r}} \in \text{Cube}(\mathbf{r}, \delta), \quad \|\Delta \mathbf{f}_g - \Gamma \Delta \mathbf{r}\| < \varepsilon \Delta r \quad (11)$$

این بدان معنی است که به ازای هر $\varepsilon > 0$ یک مکعب همسایگی مانند: $\text{Cube}(\mathbf{r}, \delta)$ وجود دارد که هر نقطه در آن در معادله‌ی (11) صدق می‌کند. پس خواهیم داشت:

$$\Delta \mathbf{f}_g = \Gamma \Delta \mathbf{r} + \mathbf{e}_{MDL}(\Delta \mathbf{r}) \quad (12)$$

در این رابطه، بردار $\mathbf{e}_{MDL}(\Delta \mathbf{r})$ خطای مدل یا خطای گسته سازی نامیده می‌شود که نُرم (اندازه) آن از $\varepsilon \Delta r$ کمتر خواهد بود. بنابراین، اگر $\Delta \mathbf{r} \rightarrow 0^+$ آنگاه $0 < \varepsilon \Delta r \ll \|\mathbf{e}_{MDL}(\Delta \mathbf{r})\|$. پس رابطه‌ی (12) که به نحوی فرم گسته‌ی رابطه‌ی (11) محسوب می‌شود، به صورت ذیل تبدیل می‌گردد:

$$\Delta \mathbf{f}_g = \Gamma \Delta \mathbf{r} + o(\Delta r) \quad (13)$$

چنانکه درباره‌ی خطای مدل $\mathbf{e}_{MDL}(\Delta \mathbf{r})$ اطلاعاتی وجود نداشت و نُرم آن نیز در محدوده‌ی خطاهای تصادفی باشد، آنگاه می‌توان خطای مدل و سایر خطاهای تصادفی را با یکدیگر در فرآیند حل مسئله، پالایش (Filtering) نمود. همچنین، در عمل، رابطه‌ی فوق می‌تواند به ازای هر $\underline{\mathbf{r}} \in \text{Cube}(\mathbf{r}, \delta)$ به صورت زیر تقریب زده شود:

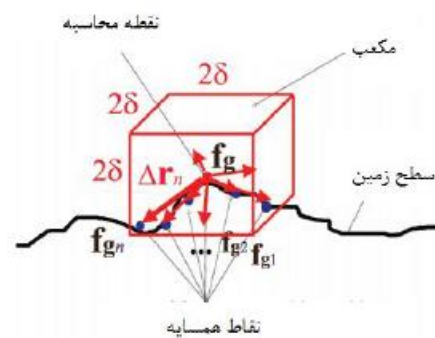
$$\Delta \mathbf{f}_g \approx \Gamma \Delta \mathbf{r} \quad (14)$$

رابطه‌ی (5) با استفاده از مقایمی حد و مشتق طی روابط (6) الی (13) به فرم گسته‌ی آن یعنی رابطه‌ی (14) تبدیل می‌گردد. رابطه‌ی (14) به زبان ساده نشان می‌دهد

حال رابطه دیفرانسیلی زیر بین کمیتهای دیفرانسیلی بردار گرانی و بردار مکان را در نظر بگیرید:

$$d \mathbf{f}_g = \Gamma d \mathbf{r} \quad (5)$$

به نحوی که $d \mathbf{f}_g = [df_{gx} \quad df_{gy} \quad df_{gz}]^T$ و $d \mathbf{r} = [dx \quad dy \quad dz]^T$ بردار گرانی و بردار مکان می‌باشند. در رابطه (5) می‌بینیم که مفهوم مشتق (در اینجا تابعه گرانی) بین دیفرانسیل بردار مکان و دیفرانسیل بردار گرانی یک ارتباط ایجاد می‌نماید که در عمل و واقعیت مفهوم دیفرانسیل بردار گرانی چیزی جز تغییرات آن خواهد بود.



شکل ۱ بردار گرانی مشاهده شده در نقطه‌ی محاسباتی و نقاط همسایه‌ی آن

از این رو همچنین خواهیم داشت:

$$\frac{d \mathbf{f}_g}{d r} = \Gamma \mathbf{u}_{\Delta \mathbf{r}} \quad (6)$$

به نحوی که

$$\mathbf{u}_{\Delta \mathbf{r}} = \frac{d \mathbf{r}}{d r} \quad (7)$$

و به علاوه

$$d r = \|d \mathbf{r}\| = \sqrt{dx^2 + dy^2 + dz^2} \quad (8)$$

همچنین در صورتیکه $\Delta r \rightarrow 0$ به سمت صفر کند معادله‌ی (8) به صورت ذیل برقرار خواهد بود:

$$\lim_{\Delta r \rightarrow 0^+} \frac{\Delta \mathbf{f}_g}{\Delta r} - \Gamma \mathbf{u}_{\Delta \mathbf{r}} = \mathbf{0} \quad (9)$$

$$\mathbf{I} = \Delta\mathbf{R}\Delta\mathbf{R}^{-1} \quad (\text{Eq. } 1)$$

$$\boldsymbol{\Gamma} = \Delta \mathbf{F}_r \Delta \mathbf{R}_r^{-1} - \mathbf{e}_{MDL} (\Delta \mathbf{R}) \Delta \mathbf{R}_r^{-1} \quad (44)$$

متطقه مورد مطالعه در این تحقیق متطقه‌ی فارس ساحلی می‌باشد. این متطقه از نظر جغرافیایی، با مساحتی حدود ۱۰۰۰ کیلومتر مربع در جنوب ایران و در سواحل غربی شهر بندرعباس و در شمال جزایر ایرانی قشم و لاوان واقع شده است. این گستره از غرب به چهواز، و از شرق به بندر خمیر و بندر عباس محدود می‌شود. مرز جنوبی آن، امتداد سواحل خلیج فارس و مرز شمالی آن به قسمت‌های مرتفع تر زاگرس محدود می‌شود. متطقه مورد مطالعه در سامانه‌ی مختصاتی ژئودتیک WGS-84 در بازه‌ی طول جغرافیایی $53^{\circ} / 41$ تا $55^{\circ} / 58$ و در بازه‌ی عرض جغرافیایی $26^{\circ} / 5$ تا $27^{\circ} / 27$ درجه واقع شده است و در سیستم تصویر مرکاتور جهانی (UTM) نیز، در پهنه‌های (Zones) ۳۹ و ۴۰ قرار دارد.

که اختلاف بردار جاذبه دو نقطه نزدیک به یکدیگر (که این نزدیکی با همسایگی تعریف می‌شود) با ضرب تانسور جاذبه در اختلاف بردار مکان بین دو نقطه تقریب زده می‌شود. این مفهوم ساده در اینجا اساس گستره‌سازی را تشکیل داده است.

پس، برای N نقطه‌ی همسایه که در همسایگی نقطه محاسباتی قرار دارند، داریم:

$$\Delta \mathbf{f}_{gn} = \boldsymbol{\Gamma} \Delta \mathbf{r}_n + \boldsymbol{\epsilon}_{MDL}(\Delta \mathbf{r}_n) \quad (15)$$

n=1,2,...,N

که در آن

$$\begin{aligned}\Delta \mathbf{r}_n &= \mathbf{r}_n - \mathbf{r} \\ \Delta \mathbf{f}_{g_n} &= \mathbf{f}_{g_n} - \mathbf{f}_g\end{aligned}\quad (16)$$

حال، ماتریس های زیر را در نظر بگیرید:

$$\Delta \mathbf{F}_g = [\Delta f_{g1} \quad \Delta f_{g2} \quad \dots \quad \Delta f_{gN}] \in \mathbb{R}^{3 \times N}$$

$$\Delta \mathbf{R} = [\Delta \mathbf{r}_1 \quad \Delta \mathbf{r}_2 \quad \dots \quad \Delta \mathbf{r}_N] \in \mathbb{R}^{3 \times N}$$

$$\mathbf{e}_{MDL}(\Delta \mathbf{R}) = [\mathbf{e}_{MDL}(\Delta \mathbf{r}_1) \quad \mathbf{e}_{MDL}(\Delta \mathbf{r}_2) \quad \dots \quad \mathbf{e}_{MDL}(\Delta \mathbf{r}_N)] \in \mathbb{R}^{3 \times N}$$

در روابط فوق می‌بینیم که، بردارهای $\{\Delta\mathbf{f}_{g,n}\}$ و $\{\Delta\mathbf{r}_n\}_{n=1,2,\dots,N}$ به ازای مقادیر $\{\mathbf{e}_{MDL}(\Delta\mathbf{r}_n)\}$ به ترتیب ستون‌های ماتریس‌های $\Delta\mathbf{F}_g$ ، $\Delta\mathbf{R}$ و $\mathbf{e}_{MDL}(\Delta\mathbf{R})$ می‌باشند. پس بین ماتریس‌های تعریف شده‌ی فوق، معادله‌ی (۱۷) مشکل زیر پرقرار است:

$$\Delta \mathbf{F}_g = \boldsymbol{\Gamma} \Delta \mathbf{R} + \mathbf{e}_{MDL}(\Delta \mathbf{R}) \quad (18)$$

و همانند رابطه‌ی (۱۷) با نادیده گرفتن خطای مدل $(\Delta R)_{MDL}$ در رابطه‌ی فوق، تقریب زیر برقرار خواهد بود:

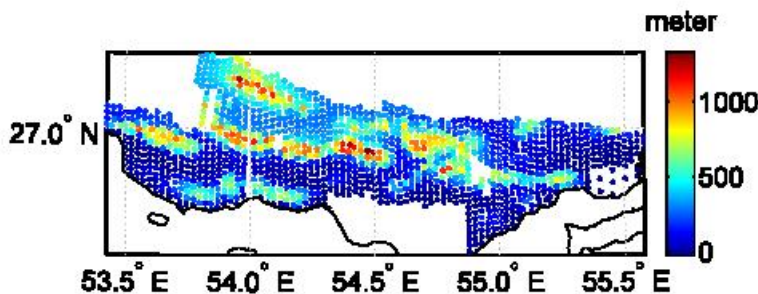
$$\Delta \mathbf{F}_g \approx \boldsymbol{\Gamma} \Delta \mathbf{R} \quad (14)$$

همانگونه که پیشتر ذکر گردید، در اینجا فرض بر این است که نقاط همسایه به صورت سبدعی در فضای اطراف نقطه محاسباتی پراکنده شده باشند و این فرض موجب می‌شود که ماتریس ΔR در رابطه‌ی (۱۹) یک ماتریس با رتبه کامل (Full rank) باشد. پس یک ماتریس با رتبه‌ی کامل دیگر مانند $\Delta R^{-1} \in \mathbb{R}^{N \times 3}$ وجود دارد به نحوی که

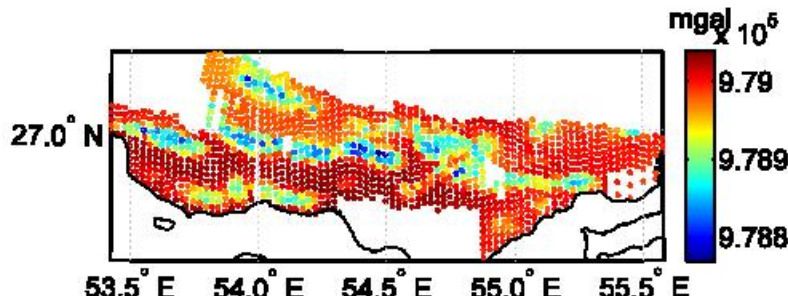
پیش از استفاده از داده‌های واقعی منطقه فارس ساحلی در امر برآورده تانسور گرادیان گرانی به روش پیشنهادی این تحقیق، لازم است که برای بررسی و آزمایش عددی روش پیشنهادی، یک شبیه‌سازی در منطقه مورد مطالعه انجام پذیرد. بدین منظور، از مدل ژئوپتانسیل جاذبی جهانی EGM-2008 استفاده گردیده است. ابتدا بردار شتاب گرانی با استفاده از مدل ژئوپتانسیل EGM-2008 با درجه و مرتبه‌های مختلف محاسبه می‌گردد و سپس با استفاده از این بردار و روش تفاضل محدود، تانسور گرادیان گرانی برآورده می‌شود. اگر تانسور گرادیان گرانی بدست آمده با استفاده از روش تفاضل محدود با تانسور گرادیان گرانی بدست آمده از مدل ژئوپتانسیل و نتایج حاصل از این دو روش به یکدیگر نزدیک باشند، می‌توان روش پیشنهادی را روش قابل قبولی دانست.

حدود ۸۵۰۰ کیلومتر مربع (۸۵٪) از منطقه در نواحی ناهموار کوهستانی و حدود ۱۵۰۰ کیلومتر مربع (۱۵٪) از منطقه در مناطق هموار ساحلی داده برداری شده است. شکل ۲ توزیع ارتفاعی نقاط داده برداری شده در منطقه فارس ساحلی را نمایش می‌دهد.

داده‌های ثقلی منطقه فارس ساحلی مشتمل بر ۶۳۵۰ ایستگاه گرانی سنجی می‌باشد. فاصله‌ی تقریبی خطوط برداشت در این پروژه، $1/5$ تا $2/5$ کیلومتر و فاصله‌ی نقاط روی هر خط پیمایش نیز تقریباً ۵۰۰ متر می‌باشد. تعداد خطوط پیمایش در این داده‌برداری نیز ۹۳ خط بوده که در طول منطقه دارای اندازه‌های متفاوت‌اند و تقریباً همه‌ی آنها با راستای شمال جغرافیایی، آزیمут صفر درجه می‌سازند. شکل ۳ توزیع مکانی شتاب ثقل برداشت شده را در محدوده منطقه مورد مطالعه نمایش می‌دهند.



شکل ۲ توزیع ارتفاعی ایستگاه‌های داده‌برداری شده در منطقه فارس ساحلی



شکل ۲ توزیع شتاب ثقل برداشت شده در ۶۳۵۰ ایستگاه ثقلی در منطقه فارس ساحلی

های رقومی زمین و مشاهدات ارتفاع سنجی ماهواره‌ای بهره گرفته شده است [۱۶ و ۱۷].

این مدل به عنوان یک میدان گرانی مرجع در ژئودزی کاربردهای متنوعی دارد. یکی از کاربردهای مدل جاذبی جهانی EGM2008 استفاده از آن بعنوان مرجعی جهت مدلسازی و تعیین تانسور گرادیان گرانی است. با استفاده از مدل EGM2008 تابع پتانسیل گرانش $\psi(r, \theta, \lambda)$ در یک نقطه با مختصات (r, θ, λ) بصورت زیر تعریف می‌شود:

۱-۳- تعیین تانسور گرادیان گرانی با استفاده از ضرایب هارمونیک میدان گرانی

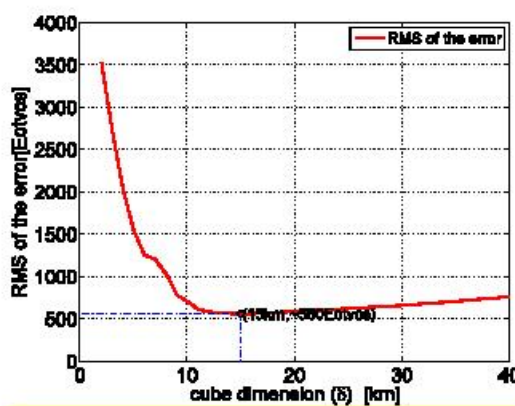
مدل گرانی جهانی EGM2008 مدلی است مشتمل بر ضرایب هارمونیک کروی میدان گرانی زمین تا درجه ۲۱۹۰ و مرتبه ۲۱۵۹ که توسط پاولیس و همکاران (۲۰۱۲ و ۲۰۱۳) تهیه شده است [۱۶ و ۱۷]. در برآورده ضرایب هارمونیک کروی این مدل از انواع مشاهدات گرانی زمینی، هوایی و مشاهدات ماهواره‌ای GRACE و مدل

$$\frac{\partial^2 V_{EGM}}{\partial \zeta^2} = \frac{GM}{R} \sum_{n=2}^k \sum_{m=0}^n \left(\frac{\partial^2 V_{nm}}{\partial r^2} \right) \quad (30)$$

که در روابط بالا V_{nm} بصورت معادله‌ی (۳۱) تعریف می‌شود:

$$V_{nm} = \left(\frac{R}{r} \right)^{n+1} (C_{nm} \cos m\lambda + S_{nm} \sin m\lambda) \bar{P}_{nm}(\cos \theta) \quad (31)$$

همانطور که در بخش ۳ توضیح داده شد، در برآورد تansور گرادیان گرانی با استفاده از روش تفاضل محدود، ابعاد مکعب همسایگی که به مرکز نقطه محاسباتی قرار می‌گیرد و محاسبات با توجه به آن انجام می‌گیرند، از اهمیت بالایی برخوردار است. برای پیدا کردن بهترین شعاع همسایگی در منطقه مورد مطالعه، تansور گرادیان گرانی برآورد شده با استفاده از روش تفاضل محدود با شعاع‌های همسایگی مختلف (از ۲ تا ۲۰ کیلومتر) با تansور گرادیان گرانی برآورد شده با مشتق‌گیری مستقیم از مدل ژئوتانسیل، مقایسه شد. شکل ۴ RMS خطای برآورد تansور گرادیان گرانی را حاصل از مقایسه‌ی بین دو روش برای شعاع‌های همسایگی مختلف نمایش می‌دهد.



شکل ۴ مقدار RMS خطای برآورد تansور گرادیان حاصل از مقایسه تansور برآورد شده از روش تفاضل محدود و محاسبه مستقیم تansور از ضرایب هارمونیک گروی مدل ژئوتانسیل

همانطور که در شکل ۴ دیده می‌شود، بهبیته ترین شعاع همسایگی در این روش، شعاع ۱۵ کیلومتری می‌باشد که کمترین مقدار RMS خطاهای را ارائه می‌دهد. از این شعاع همسایگی بهبیه برای مقایسه تansور برآورد شده در تمامی ایستگاهها با مقدار بدست آمده آن از معادلات مستقیم مشروحة فوق با درجات مختلف استفاده گردیده است. شکل ۵ RMS حاصل از این مقایسه را برای هریک از المان‌های تansور گرادیان گرانی بر حسب درجات مختلف

$$\frac{\partial^2 V_{EGM}}{\partial \zeta^2} = \frac{GM}{R} \sum_{n=2}^k \sum_{m=0}^n \left(\frac{\partial^2 V_{nm}}{\partial r^2} \right) \quad (24)$$

$$V_{EGM}(r, \theta, \lambda) = \frac{GM}{R} \sum_{n=2}^k \sum_{m=0}^n \left(\frac{R}{r} \right)^{n+1} (C_{nm} \cos m\lambda + S_{nm} \sin m\lambda) \bar{P}_{nm}(\cos \theta)$$

که در رابطه‌ی بالا G ثابت جهانی گرانی، M جرم زمین، R شعاع متوسط زمین، C_{nm} و S_{nm} ضرایب هارمونیک‌های گروی که از مدل EGM2008 بدست آیتد و \bar{P}_{nm} تابع لواندر می‌باشد. همچنین k درجه مدل EGM2008 می‌باشد که در این مدل می‌تواند تا درجه ۲۱۹۰، جایگذاری شود. با توجه به تعریف تansور گرادیان گرانی که مشتق‌ات مرتبه دوم تابع پتانسیل گرانی می‌باشد، می‌توان با مشتق گیری از معادله‌ی (۲۴) در جهات مختلف به صورت ذیل و همچنین در نظر گرفتن اثر گریز از مرکز، اجزای تansور گرادیان گرانی را بدست آورد [۱۳] (در این روابط محور x در جهت شرق، محور y در جهت شمال و محور z نیز در قائم می‌باشد):

(۲۵)

$$\frac{\partial^2 V_{EGM}}{\partial x^2} = \frac{GM}{R} \sum_{n=2}^k \sum_{m=0}^n \left(\frac{\cot \theta}{r^2} \frac{\partial V_{nm}}{\partial \theta} + \frac{1}{r} \frac{\partial T_{nm}}{\partial r} + \frac{1}{r^2 \sin^2 \theta} \frac{\partial^2 V_{nm}}{\partial \lambda^2} \right) \quad (26)$$

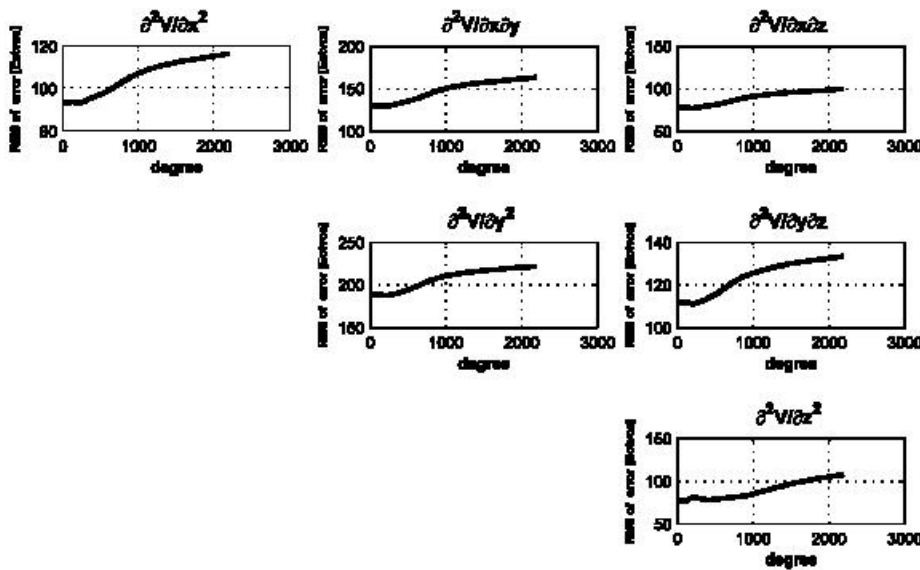
$$\frac{\partial^2 V_{EGM}}{\partial x \partial y} = \frac{GM}{R} \sum_{n=2}^k \sum_{m=0}^n \left(\frac{-\cot \theta}{r^2 \sin \theta} \frac{\partial V_{nm}}{\partial \lambda} + \frac{1}{r^2 \sin \theta} \frac{\partial^2 V_{nm}}{\partial \theta \partial \lambda} \right) \quad (27)$$

$$\frac{\partial^2 V_{EGM}}{\partial x \partial z} = \frac{GM}{R} \sum_{n=2}^k \sum_{m=0}^n \left(\frac{-1}{r^2 \sin \theta} \frac{\partial V_{nm}}{\partial \lambda} + \frac{1}{r \sin \theta} \frac{\partial^2 V_{nm}}{\partial \lambda \partial r} \right) \quad (28)$$

$$\frac{\partial^2 V_{EGM}}{\partial y^2} = \frac{GM}{R} \sum_{n=2}^k \sum_{m=0}^n \left(\frac{1}{r} \frac{\partial V_{nm}}{\partial r} + \frac{1}{r^2} \frac{\partial^2 V_{nm}}{\partial \theta^2} \right) \quad (28)$$

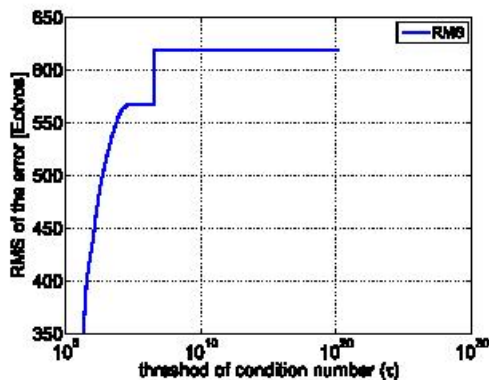
$$\frac{\partial^2 V_{EGM}}{\partial y \partial z} = \frac{GM}{R} \sum_{n=2}^k \sum_{m=0}^n \left(\frac{-1}{r^2} \frac{\partial V_{nm}}{\partial \theta} + \frac{1}{r} \frac{\partial^2 V_{nm}}{\partial \theta \partial r} \right) \quad (29)$$

نمایش می‌دهد، همانگونه که در شکل ۵ دیده می‌شود



شکل ۵ نمایش RMS خطاهای در مؤلفه‌های مختلف تانسور گرادیان گرانی به ازای درجات مختلف مدل ژئوتانسیل

به ترتیب نمودارهای RMS خطاه و تعداد نقاط حذف شده را بر حسب کران بالای عدد شرط نشان می‌دهد. همانگونه که در شکل ۷ می‌بینیم انتخاب یک مقدار کمینه برای کران بالای عدد شرط در ایستگاهها سبب کاهش RMS خطاه و متعاقباً افزایش دقیق می‌گردد. در صورتی که همانگونه که از شکل ۸ پیداست با کوچک گرفتن کران بالای عدد شرط، تعداد زیادی از ایستگاهها حذف خواهد گردید. انتخاب بهیته یک مقدار انتخابی برای کران بالای عدد شرط بایست به نحوی باشد که دقیق مناسب را در بسیاری از ایستگاهها ارائه دهد. شکل ۹ نمودار متحنی-ال مذکور حاصل از ترسیم RMS خطاه نسبت به تعداد نقاط حذف شده را نشان می‌دهد. همانگونه که در این شکل پیداست مقدار بهیته ۹۸,۸ در گوشه متحنی-ال قرار دارد.



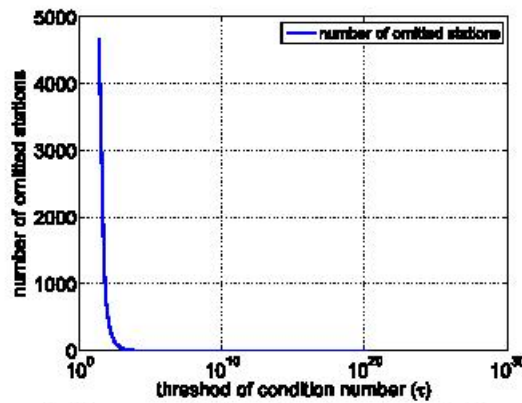
شکل ۷ نمودار خطاه RMS به ازای عدد شرط‌های مختلف، همانطور که ملاحظه می‌شود، هرچه کران عدد شرط کوچکتر می‌شود، میزان خطاه کمتر می‌شود.

از طرف دیگر، یکی از مواردی که باید در روش تفاضل محدود مورد توجه قرار گیرد، خوش وضع (full-rank) بودن ماتریس حاصل از معادلات تفاضل محدود یعنی ΔR برای هر نقطه می‌باشد. زیرا که در غیر این صورت مؤلفه‌های ارتفاعی تانسور گرادیان گرانی (یعنی Γ_{xx} , Γ_{yy} و Γ_{zz}) نمی‌توانند با دقت و صحیح مناسبی برآورده شوند. برای رفع این مشکل، بهتر است که از روش تفاضل محدود پیشنهادی بر روی نقاطی استفاده شود که ماتریس ΔR در آن نقاط دارای وضعیت مناسب از نظر رتبه و عدد شرط (condition number) باشد. بنابراین، پیشنهاد این است که قید خوش وضعی (well-posedness) یا خوش شرایطی (well conditioning) ماتریس ΔR به مسئله اضافه شود. از این رو در بین ایستگاههای جاذبی این مطالعه موردی، مقایسه‌هایی با عدد شرط‌های condition-number مختلف انجام پذیرفت. در اینجا ماتریس‌های اختلاف فاصله‌ای که عدد شرط آنها کوچکتر و یا مساوی ۹۸,۸ بود برای انجام محاسبات انتخاب شدند. لازم به ذکر است که عدد شرط ۹۸,۸ مقدار بهیته‌ای است که از روش متحنی-ال بدست آمده است. در اینجا هدف آن بوده است که مقدار بهیته عدد شرط به نحوی اختیار گردد که به طور همزمان RMS خطاه و تعداد نقاط حذف شده را به حداقل برساند. بدین متوجه از روش تعیین پارامتر متحنی-ال (هانسن و لیری (۱۹۹۳) [۱۸]) جهت یافتن بهیته مقدار کران بالای عدد شرط استفاده شده است. شکل‌های ۷ و ۸

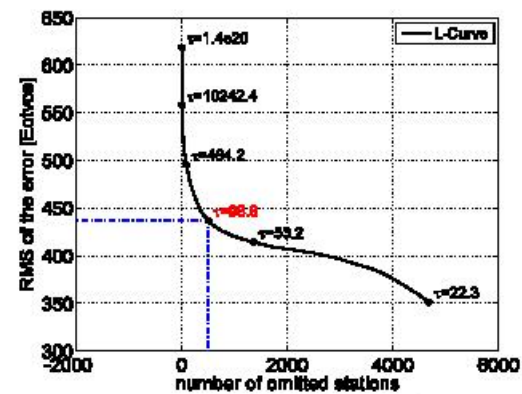
به نسبت مولفه قائم Γ_{xx} با دقت مناسبتری برآورد گردیده است.

جدول ۱ نیز مقدار متوسط مولفه‌های برآورد شده و RMS خطای آنها را ارائه نموده است. در این جدول نسبت مقدار متوسط هر یک از مولفه‌ها به مقدار RMS خطای آن به عنوان نسبت سیگنال به نویز (SNR) در نظر گرفته شده است. همانگونه که از این جدول پیداست نسبت سیگنال به نویز برای مولفه‌های قطری تانسور در مقایسه با سایر مولفه‌ها به طور قابل توجهی بزرگ می‌باشد که این امر نشان از توانایی روش در برآورد مولفه‌های قطری تانسور می‌باشد. جدول ۱ نشان می‌دهد که بیشترین و کمترین مقادیر سیگنال به نویز (SNR) به ترتیب مربوط به مولفه‌های Γ_{xx} و Γ_{yy} می‌باشد. از این رو، با توجه به نسبت سیگنال به نویز، روش پیشنهادی مناسبترین برآورد را برای مولفه Γ_{xx} و نامناسبترین برآورد را برای مولفه Γ_{yy} انجام داده است.

در نهایت با استفاده از داده‌های گرانی برداشت شده در منطقه فارس ساحلی و با استفاده از روش تفاضل محدود، تانسور گرادیان گرانی در منطقه مورد مطالعه بدست آمد. شکل ۱۳ توزیع مکانی مولفه‌های تانسور گرادیان گرانی در منطقه مورد مطالعه را نشان می‌دهد. لازم به ذکر است که در مطالعه موردي انجام پذیرفته مشاهدات جاذبی برداشت شده تنها اندازه شتاب ثقل بوده و جهت بردار ثقل با استفاده از مدل جهانی در هر ایستگاه ثقلی بدست آمده است و پس از حصول بردارهای شتاب ثقل در تمامی ایستگاهها روش تفاضل محدود پیشنهادی به تمامی آنها اعمال گردیده است.

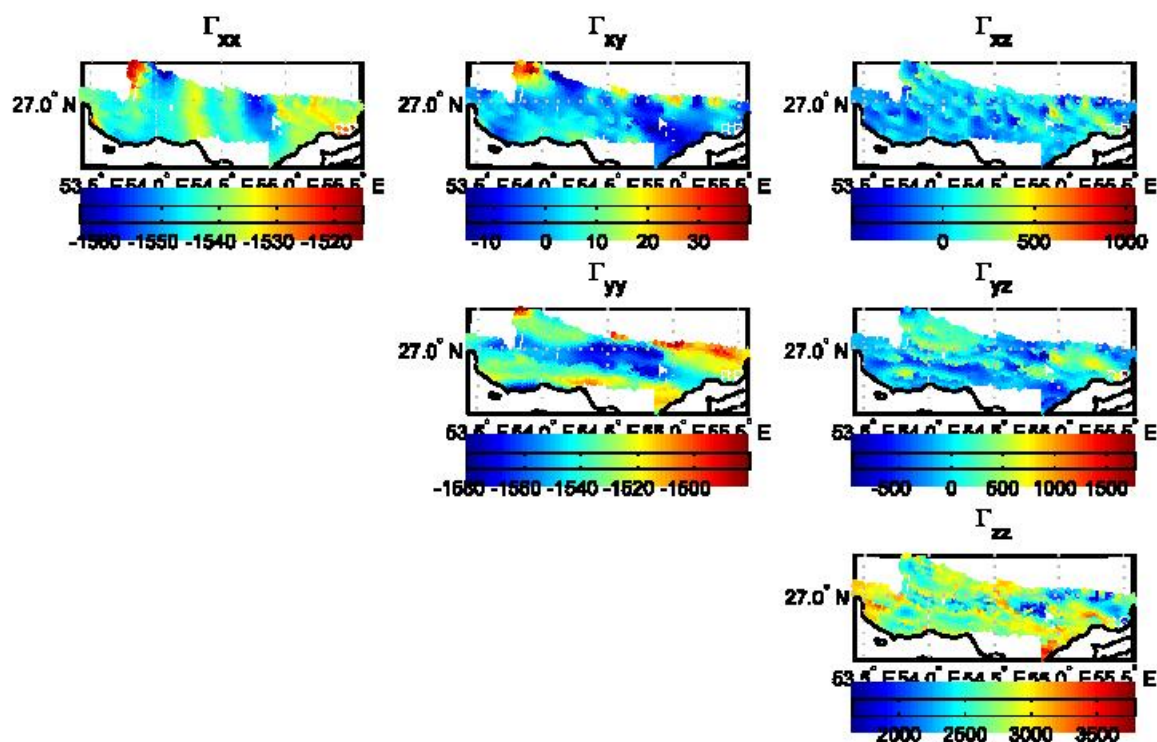


شکل ۸ نمودار تعداد نقاط در نظر گرفته نشده (نقاطی که در شرط خوش وضعی صدق نمی‌کنند) بر حسب عدد شرط‌های مختلف: در این شکل می‌بینیم که با کم شدن کران بالای عدد شرط، نقاط بیشتری از محاسبه خارج می‌شوند.

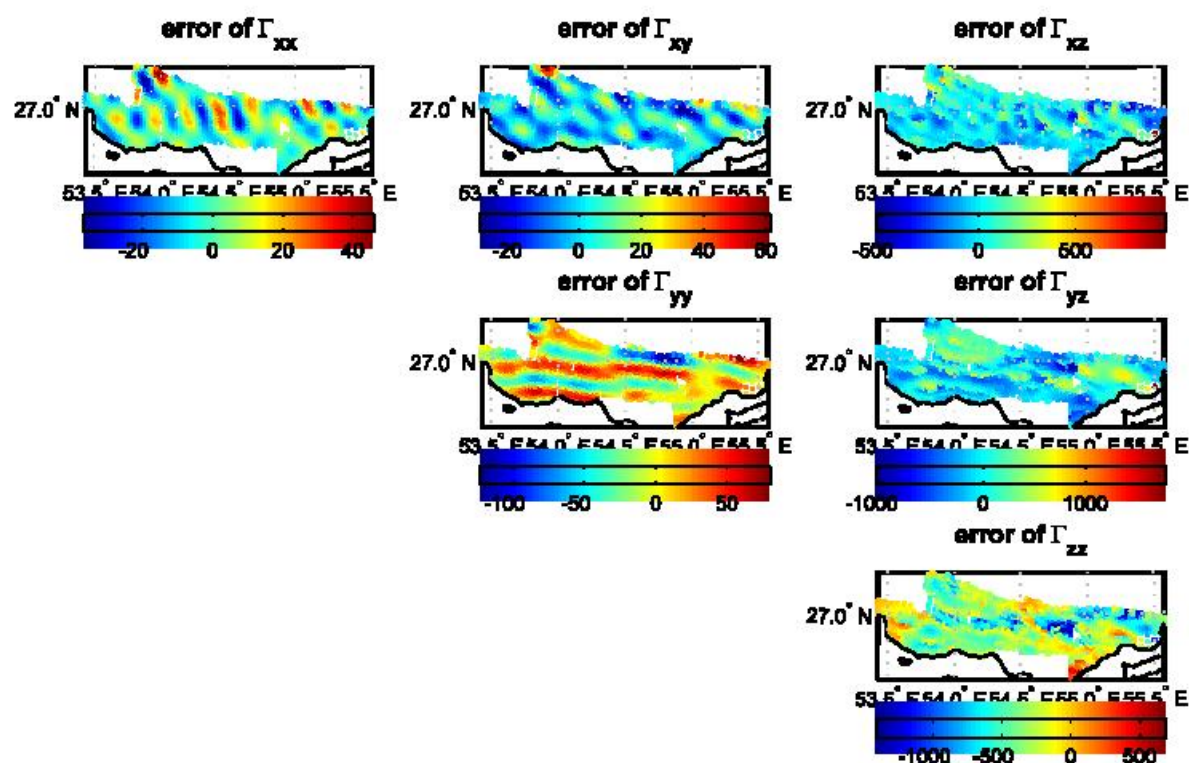


شکل ۹ نمودار منحنی ال حاصل از ترسیم RMS خطای نسبت به تعداد نقاط در نظر گرفته نشده

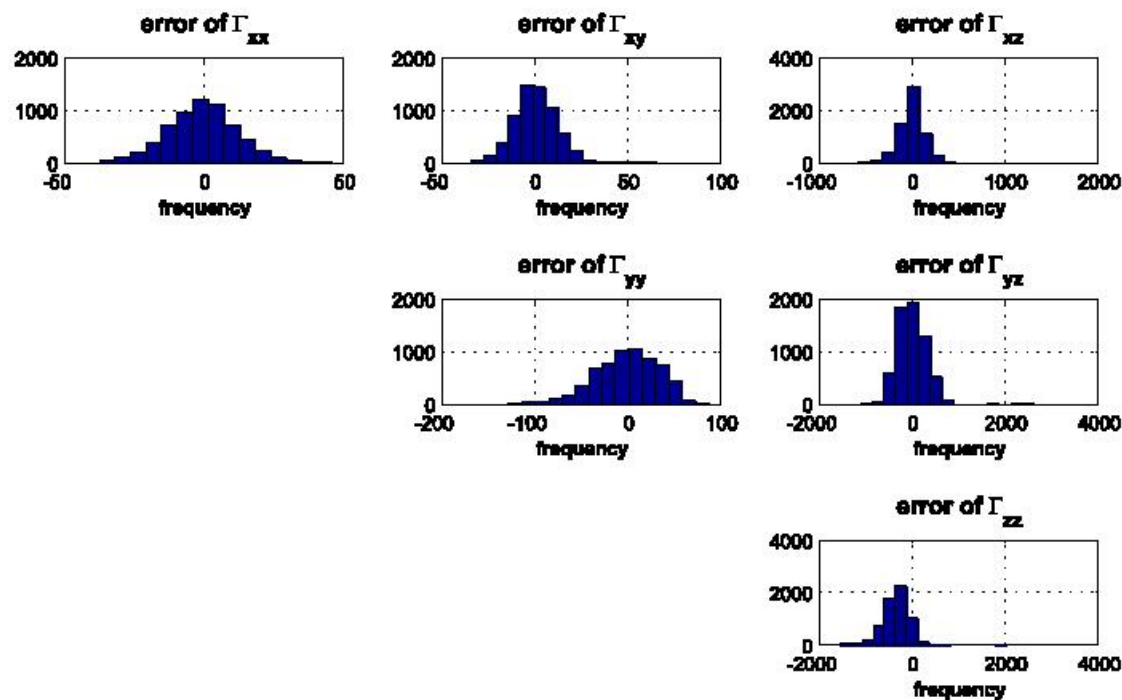
در این مطالعه موردي با در نظر گرفتن کران بالای عدد شرط برابر با ۹۸,۸، تانسور گرادیان گرانی در ۵۸۴۹ ایستگاه یعنی بیش از ۹۲ درصد کل ایستگاهها با RMS خطای برابر با ۴۳۷ اتووش بدست می‌آید. شکل ۱۰ توزیع مکانی تانسور گرانی بدست آمده از روش تفاضل محدود در شبیه‌سازی انجام پذیرفته را نشان می‌دهد. همچنین شکل‌های ۱۱ و ۱۲ به ترتیب توزیع مکانی و هیستوگرامهای خطای مولفه‌های تانسور گرادیان گرانی حاصل از تفاضل تانسور بدست آمده از روش تفاضل محدود با تانسور بدست آمده از مدل ژئوتانسیل در ۵۸۴۹ ایستگاه مذکور را نشان می‌دهد. این اشکال نشان می‌دهد که روش تفاضل محدود پیشنهادی در برآورد مولفه‌های قطری تانسور گرادیان (یعنی Γ_{xx} , Γ_{yy} و Γ_{zz}) به نسبت مولفه‌های خارج قطر اصلی تانسور (یعنی Γ_{xy} , Γ_{xz} و Γ_{yz}) بهتر عمل نموده است. همچنین شکل‌های ۱۱ و ۱۲ نشان می‌دهد که مولفه‌های افقی Γ_{xx} و Γ_{yy}



شکل ۱۰: توزیع مکانی مؤلفه‌های تانسور گرادیان گرانی بدست آمده از روش تفاضل محدود در شبیه‌سازی انجام پذیرفته (واحد: انبوش)



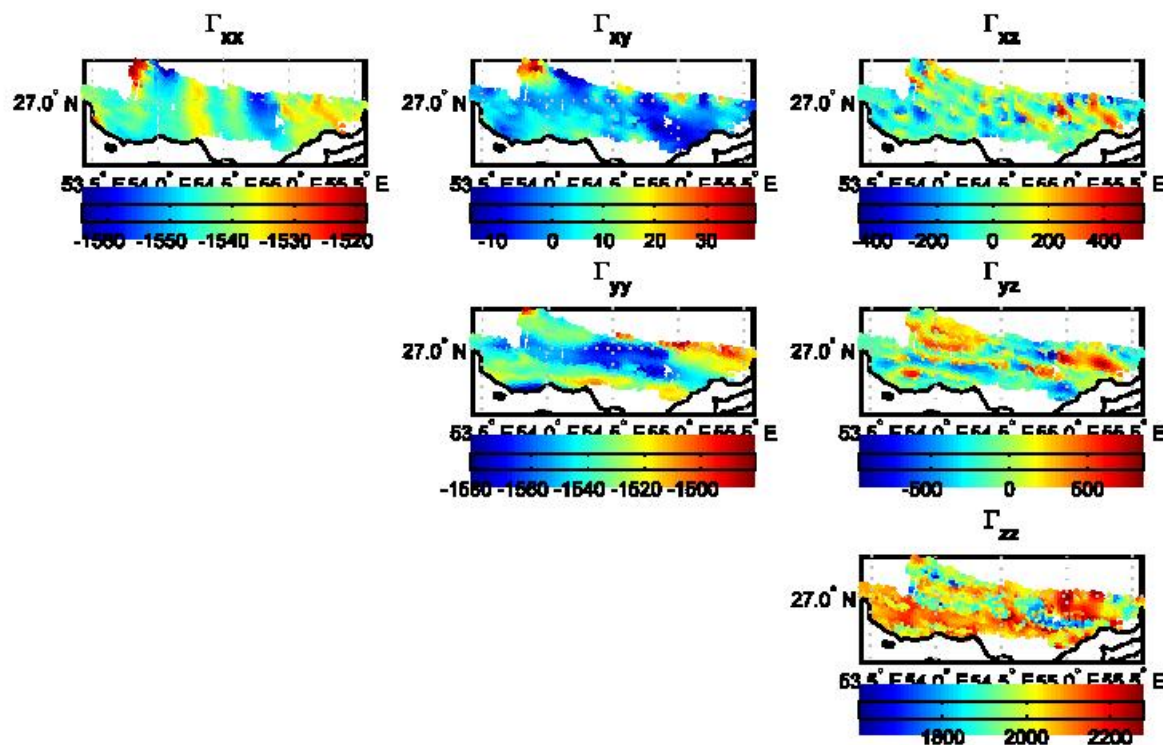
شکل ۱۱: توزیع مکانی خطای مؤلفه‌های تانسور گرادیان گرانی بدست آمده از روش تفاضل محدود (واحد: انبوش)



شکل ۱۲ هیستوگرامهای خطای مولفه‌های تانسور گرادیان گرانی بدهست آمده از روش تفاضل محدود (واحد: اتروش)

جدول ۱ مولفه‌های تانسور گرادیان گرانی بدهست آمده از روش تفاضل محدود در شبیه‌سازی انجام پذیرفته (واحد: اتروش)

مولفه‌های تانسور گرادیان گرانی	Γ_{xx}	Γ_{yy}	Γ_{zz}	Γ_{xy}	Γ_{xz}	Γ_{yz}
متوسط	-1542.23	-1539.06	2713.51	1.5	-5.64	-24.65
RMS خطای	12.46	34.49	454.82	11.85	128.38	283.41
SNR	123.75	44.63	5.97	0.13	0.04	0.09



شکل ۱۳ توزیع مکانی مولفه‌های تانسور گرادیان گرانی بدهست آمده از روش تفاضل محدود در منطقه مورد مطالعه (واحد: اتروش)

۴- بحث و نتیجه‌گیری

در این تحقیق سعی گردید تا به معروفی و تحلیل روش تفاضل محدود در برآورد تانسور گرادیان گرانی پرداخته شود. از این رو جهت برآورد تانسور گرانی، روابط و فرمولهای ریاضی برایه روش تفاضل محدود و مقامیم تانسور گرانی تولید و ارائه گردید.

سپس در یک مطالعه موردنی روابط و معادلات پیشنهادی مورد آزمایش و کاربرد قرار گرفت. بدین منظور ابتدا یک شبیه‌سازی بر اساس مدل ژئوپتانسیلی EGM2008 صورت پذیرفت و تانسور گرادیان گرانی بدست آمده از روش تفاضل محدود با تانسور گرادیان گرانی بدست آمده از مدل ژئوپتانسیل مقایسه شد. مقایسه‌های انجام پذیرفته روش تفاضل محدود پیشنهاد شده را از نقطه نظر صحت تایید نمود. پس از انجام شبیه‌سازی و تایید عددی روش پیشنهادی، از این روش جهت استخراج اطلاعات تانسوری

مراجع

- [1] S. Hammond and C. Murphy, "Air-FTG™: Bell Geospace's airborne gravity gradiometer, a description and case study," ASEG Preview, vol. 105, pp. 24-26, 2003.
- [2] M. Beiki and L. B. Pedersen, "Eigenvector analysis of gravity gradient tensor to locate geologic bodies," *Geophysics*, vol. 75, pp. I37-I49, 2010.
- [3] L. Pedersen and T. Rasmussen, "The gradient tensor of potential field anomalies: Some implications on data collection and data processing of maps," *Geophysics*, vol. 55, pp. 1558-1566, 1990.
- [4] D. K. Butler, "Microgravimetric and gravity gradient techniques for detection of subsurface cavities," *Geophysics*, vol. 49, pp. 1084-1096, 1984.
- [5] C. Zhang, M. F. Mushayandebvu, A. B. Reid, J. D. Fairhead, and M. E. Odegard, "Euler deconvolution of gravity tensor gradient data," *Geophysics*, vol. 65, pp. 512-520, 2000.
- [6] C. Affleck and A. Jircitano, "Passive gravity gradiometer navigation system," in Position Location and Navigation Symposium, 1990. Record. The 1990's-A Decade of Excellence in the Navigation Sciences. IEEE PLANS'90., IEEE, 1990, pp. 60-66.
- [7] L. Bod, E. Fischbach, G. Marx, and M. Náray-Ziegler, "One hundred years of the Eötvös experiment," *Acta Physica Hungarica*, vol. 69, pp. 335-355, 1991.
- [8] B. Geospace, "Final report of acquisition and processing on Air-FTG survey in Parkfield earthquake experiment area, September 2004," Rice University, Houston, Texas, 2004.
- [9] B. Agarwal and T. Lal, "A generalized method of computing second derivative of gravity field," *Geophysical Prospecting*, vol. 20, pp. 385-394, 1972.
- [10] P. Gunn, "Linear Transformations of Gravity and Magnetic FIELDS*,," *Geophysical Prospecting*, vol. 23, pp. 300-312, 1975.
- [11] K. L. Mickus and J. H. Hinojosa, "The complete gravity gradient tensor derived from the vertical component of gravity: a Fourier transform technique," *Journal of Applied Geophysics*, vol. 46, pp. 159-174, 2001.
- [12] M. Roth, "Marine full tensor gravity gradiometry data analysis and Euler deconvolution," 2009.
- [13] L. Zhu, "Gradient modelling with gravity and DEM," The Ohio State University, 2007.

- [14] C. G. Farquharson, "Constructing piecewise-constant models in multidimensional minimum-structure inversions," *Geophysics*, vol. 73, pp. K1-K9, 2007.
- [15] C. Farquharson and C. Mosher, "Three-dimensional modelling of gravity data using finite differences," *Journal of Applied Geophysics*, vol. 68, pp. 417-422, 2009.
- [16] Pavlis N.K., Holmes S.A., Kenyon S.C. and Factor J.K. (2012). "The development and evaluation of the Earth Gravitational Model 2008 (EGM2008)". *Journal of Geophysical Research: Solid Earth*. Vol. 117, B04406
- [17] Pavlis N.K., Holmes S.A., Kenyon S.C. and Factor J.K. (2013). "Correction to "The Development and Evaluation of the Earth Gravitational Model 2008 (EGM2008)"". *Journal of Geophysical Research: Solid Earth*. Vol. 118, 2633
- [18] Hansen P. and O'Leary D. (1993). "The Use of the L-Curve in the Regularization of Discrete Ill-Posed Problems". *SIAM Journal on Scientific Computing*. Vol. 14, 1487-503